

669.15'26-194.57: 669.14.018.8: 620.192.45: 546.221  
669.26: 669.74: 669.046.558.5: 669.71: 621.785.3/.7

(67)

## フェライト系ステンレス鋼中の硫化物について

川崎製鉄 技研・矢野修也 鈴木 宰 工博中西恭二

1. 諸言 フェライト系ステンレス鋼中の硫化物系介在物に関する系統的な知見を得るために、鋼中Cr濃度、Mn濃度、Al脱酸の有無、凝固条件および熱処理条件などを変えて析出する硫化物を調査した。

2. 実験方法 鋼の組成は 0.05% C, 0.5% Si, 0.1% S とし、Crを 8, 13, 18%, Mnを 0.2, 0.5, 1.5% と変え、各組成に対し Al脱酸あり、無し、の 2 水準とした。20 kW 高周波炉により、Ar雰囲気下、MgO るっぽ内で溶解し、出鋼前（あるいは脱酸前）まで 100 ~ 200 ppm なるように母材で調整した。溶解量 3 kg の半量を金型に鋳込み、残り半量をるっぽ内で凝固させた。鋼塊中心部から切出した試料を as cast、および熱処理して光顯、XMA、電子線回折などにより調査した。熱処理条件は a) 1300 °C × 17 hr + 約 1400 °C × 2 hr + 1300 °C × 30 hr → WQ, b) 1100 °C × 40 hr → WQ などである。

3. 実験結果と考察

3.1. Cr の影響 すべてのるっぽ内凝固した as cast 試料の硫化物系介在物は網目状に分布し Sims の分類による II 型に属する。しかし個々の粒子の多くが、細長く狭い間隔で分布している典型的 II 型の場合と、それよりやや大きく球状の粒子が多い場合とに区別される。後者を振りに II' 型と呼べば、II 型と II' 型の差異は Al よりもむしろ Mn に依存し、典型的な II 型は 30 ppm 以下の O 濃度で析出するようである。金型鋳込み材では冷却速度を反映して硫化物は細かいが、やはり Mn が高い場合に球状である粒子が多い。

3.2. 組成、結晶構造 一連の実験において Cr, Mn の差異による硫化物の分布、形態への影響はない。硫化物は Mn, Cr, S より成り、組成における Mn の影響が大きく、図 1 に 8% Cr 鋼の場合を示す。13%, 18% Cr 鋼の場合も大差ない。0.2% Mn では Mn-Cr sulfide 中に光学的異方性を示す Cr-sulfide が板状ないし棒状に析出している場合がある。写真 1 は電子線回折により  $\alpha\text{-MnS}$  型と同定された一例を示す。格子定数の値より、 $(\text{Mn}, \text{Cr})\text{S}$  固溶体と推察される。

3.3. 熱処理の影響 热処理 a) によって硫化物は粗大化し、形は球状、角状および不定形とさまざまであるが、ある程度 as cast 時の形態をひきついでいるようである。角状硫化物は as cast では存在せず熱処理により初めて析出した。組成はかなり変化し、図 2 に示すように Mn の影響のみならず、Cr の影響もあらわれる。as cast で存在していた Cr-sulfide 相は消滅した。1100 °C の熱処理 b) によれば、硫化物の大きさや、形の変化はほとんどないが、組成は変化し、一般に Cr 含有量が減少し、Mn 含有量が増加する。しかし熱処理 a) の場合のような Cr の影響はなく、Mn の影響だけが明瞭である。また、0.2% Mn の試料では Cr-sulfide 相が as cast と同様に存在する。

[文献] 1) R. Kisselung & C. Westman: J I S I 204 ('66) p. 377

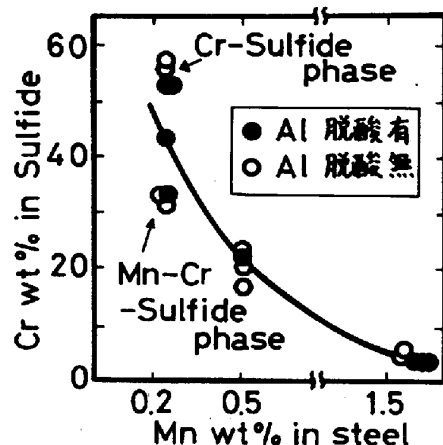


図 1 8% Cr 鋼中の硫化物組成

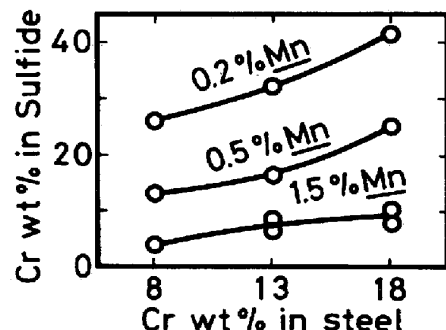
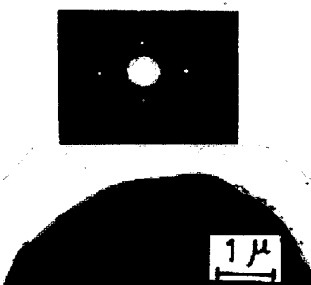


図 2 1300 °C 热処理後の硫化物組成と鋼組成の関係

写 1  $(\text{Mn}, \text{Cr})\text{S}$  介在物の回折像(上)  
と電子顕微鏡像(下)